

# کاربرد روش اجزاء محدود در تحلیل سازه کشته

دکتر ایرج محمودزاده کنی

استادیار گروه مهندسی عمران - دانشکده فنی - دانشگاه تهران

مهندس مهرداد اللهیاری

کارشناس ارشد سازه - دانشکده فنی - دانشگاه تهران

## چکیده

چون برای سازه بزرگ و پیچیده‌ای مانند سازه کشته، تحلیل کل سازه به همراه جزئیات آن یکجا ممکن نیست، لذا در عمل سازه کشته را به صورت یک "تیر جعبه‌ای جدار نازک"<sup>۱</sup> تحلیل نموده و سپس آن را به یکسری زیرسازه تحت عنوان "مدول بدن"<sup>۲</sup> تفکیک می‌نمایند. این زیرسازه‌ها که معمولاً به صورت بخشی از یک تیر جعبه‌ای انتخاب می‌شوند بستگی کامل به کاربری کشته خواهند داشت و چون در ساخت آنها از انواع عناصر سازه‌یی مانند تیرها، ستونها، و ورقهای سخت شده استفاده می‌شوند، لذا کار تحلیل آنها را به دو بخش تحلیل سیستم باربر عرضی و تحلیل سیستم باربر طولی تقسیم می‌نمایند.

هدفی که در این مقاله دنبال شده است تدوین اجزای مناسب جهت تحلیل سیستمهای باربر کشته با استفاده از روش "الجزای محدود"<sup>۳</sup> و متعاقباً کاربرد آنها در برنامه کامپیوتری است که با امکانات سخت‌افزاری موجود در کشور سازگار باشد.

## مقدمه

محدود ب کار گرفته می‌شوند. پس با توجه به این که تعریف توابع چند جمله‌یی مناسب که همگامی کافی بین تغییر شکلهای واقعی سازه و مدل تحلیلی را ایجاد نماید تا چه حد بر میزان دقت نتایج مؤثر است، در ذیل به معرفی اجزای مناسب جهت تحلیل سازه کشته خواهیم پرداخت.

### ۱- جزء مثلثی با تنش ثابت (CONSTANT STRESS TRIANGLE)

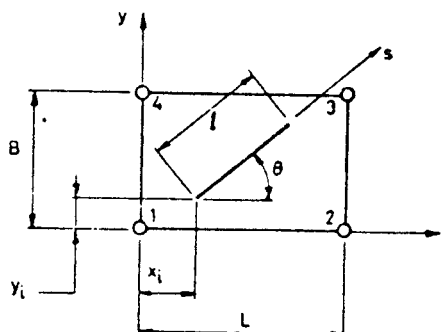
به عنوان اولین جزء مورد استفاده در روش اجزای محدود می‌توان از جزء مثلثی شکل سا ضخامت ثابت و مصالح

امروزه روش اجزای محدود به عنوان یک تکنیک قدرتمند عددی در اختیار علوم مهندسی قرار گرفته است و دارای طیف گسترده‌ای در اکثر مسائل سازه‌یی و غیر سازه‌یی گردیده است. موقیت هر چه بیشتر در بکارگیری این روش منوط به انتخاب مناسبترین متغیرهایی است که به نحو مطلوبی مدل رفتار سازه باشند. به عنوان مثال توابع چند جمله‌یی به علت قابلیتی که در افزایش پارامترهای مستقل آن وجود دارد از جمله توابع ریاضی هستند که در روش اجزای

فرض توزیع تنش جزء مستطیلی با برش ثابت و قابلیت آن برای خمین در صفحه موجب شده است که به عنوان یک جزء مناسب برای تحلیل مقطع اصلی بدنه کشتو و دیوارهای طولی آن مشخص شود.

#### ۴- جزء سخت شده مستطیلی با تنش برشی ثابت

سخت کننده هایی که در پنلهای سازه کشتو به کار میروند عموماً به صورت موازی با پنل و دارای طولی مساوی با آن هستند. اما بحثی که در این مقاله مطرح خواهیم کرد شامل سخت کننده هایی با هر طول و هر جهت دلخواه است. شکل ۱-۴) حالت کلی نامین سخت کننده با طول او سطح مقطع را نشان می دهد که در محل  $(x_i, y_i)$  از یک پنل مستطیلی به ضخامت  $t$  و با زاویه  $\theta$  نسبت به محور  $x$  واقع شده است.



شکل ۱-۴ جزء سخت شده مستطیلی با تنش برشی ثابت

چنانچه تابع تغییر مکان که برای سخت کننده در نظر می گیریم سازگار با جزء مستطیلی با تنش برشی ثابت باشد تغییر مکان در هر نقطه را می توان توسط رابطه:

$$\delta(x, y) = \begin{Bmatrix} u \\ v \end{Bmatrix} = H(x, y) C$$

بدست آورد، که در آن  $C$  ماتریس ستونی هشت عضوی ضرایب تغییر مکان خواهد بود. حال برای اینکه تغییر مکانهای گرهای را توسط بردار ضرایب  $C$  بیان کنیم از ماتریس ارتباط  $A$  به صورت زیر استفاده می نماییم، که در آن  $E$  ضریب ارجاعی و  $\nu$  ضریب پواسون است.

همسانگرد (ایزوتروپ) نام برد. تقریباً بسیاری از شکلهای موجود در حالت دو بعدی و سه بعدی را می توان با سوار کردن این جزء بدست آورد. در این جزء برای بیان الگوی تغییر مکان از یک چند جمله‌ای درجه یک استفاده می شوند.

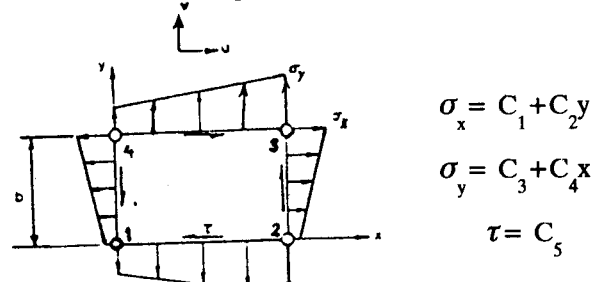
#### ۲- جزء مستطیلی با کرنش خطی (LINEAR STRAIN RECTANGLE)

چنانچه برای جزئی به شکل مستطیل با ضخامت ثابت و مصالح همسانگرد دو درجه آزادی تغییر مکان برای هر گره در نظر بگیریم کافی است که از یک تابع چند جمله‌ای با هشت ضریب مجهول برای تعریف تغییر مکان نقاط داخلی جزء استفاده نماییم. با این فرض، برای تعریف تغییر مکان نقاط داخلی، کرنشهای نرمال هر جهت، به صورت خطی بر حسب جهت متعامد دیگر تغییر کرده و کرنش برشی به صورت خطی بر حسب هر دو جهت تغییر می کند. در این صورت تغییرات تنشهای نرمال و برشی به صورت خطی در طول آن جزء خواهند بود.

#### ۳- جزء مستطیلی با تنش برشی ثابت

##### (CONSTANT SHEAR STRESS RECTANGLE)

در این جزء برای تعریف رفتار داخلی، به جای استفاده از توابع تغییر مکان، از توزیع تنش استفاده می شود به این ترتیب که برای تنشهای نرمال، یک توزیع خطی و برای تنش برشی یک مقدار ثابت فرض می شود (به شکل ۱-۳ توجه کنید):



شکل ۱-۳ جزء مستطیلی با تنش برشی ثابت

کار مجازی داخلی برابر است با:

$$w_{int} = \int [\varepsilon^0(x,y)]^T \sigma(x,y) d(rs) + \int [\varepsilon^0(x,y)]^T \sigma(x,y) d(rp)$$

که در آن  $rs$  و  $rp$  محدوده انتگرال‌گیری سخت‌کننده و ورق می‌باشند. همانگونه که ملاحظه می‌شود کار مجازی داخلی شامل دو بخش بوده که یک بخش آن مربوط به سخت‌کننده و بخش دیگر آن مربوط به ورق است. در این جا هدف ما بخش مربوط به سخت‌کننده بوده بنابراین بخش فوق را به صورت زیر بازنویسی می‌نماییم:

$$W_{int,s} = \int \varepsilon^0(\theta)^T \sigma(\theta) d(rs) = E \int \delta^0 B^T T^T T B \delta d(rs)$$

حالا اگر  $\delta$  را مساوی واحد قرار داده و کار مجازی داخلی و خارجی را مساوی قرار دهیم خواهیم داشت:

$$\kappa_s = E \int B^T T T B \delta d(rs)$$

برای سادگی محاسبه انتگرال فوق می‌توانیم با یک تبدیل مختصات از مختصات  $s$  که در طول سخت‌کننده واقع است

$$X = X_i + S \cos \theta \quad \text{استفاده نماییم:}$$

$$Y = Y_i + S \sin \theta$$

در اینجا ما توجه خود را به حالتی که در آن  $n$  سخت‌کننده موازی هم در تمام طول پنل به فاصله‌ای نامساوی از یکدیگر وجود دارند، معطوف می‌داریم. بنابراین برای  $i$  امین سخت‌کننده با سطح مقطع  $a$  که در ارتفاع  $y$  واقع شده است  $x_i = L$  و  $0 = a$ . خواهد بود.

لذا ماتریس سختی از انتگرال زیر بدست می‌آید:

$$\kappa_s = E \int B^T B \delta d(rs)$$

### ۵- تحلیل سیستم باربر طولی

چون جداره خارجی سازه کشته را ورقهای نازک به همراه سخت‌کننده‌های طولی و عرضی تشکیل می‌دهند لذا در یک

$$A = \begin{bmatrix} H(L,B) & \begin{bmatrix} L & LB & -\nu L & \frac{-(\nu L + B)^2}{2} & (1+\nu)B & B & 1 & 0 \\ -\nu B & \frac{-(\nu B + L)^2}{2} & B & LB & (1+\nu)L & -L & 0 & 1 \end{bmatrix} \\ H(0,B) & \begin{bmatrix} 0 & 0 & 0 & \frac{B^2}{2} & (1+\nu)B & B & 1 & 0 \\ \frac{1}{E} & -\nu B & \frac{-\nu B^2}{2} & B & 0 & 0 & 0 & 1 \end{bmatrix} \\ H(0,0) & \begin{bmatrix} 0 & 0 & 0 & 0 & 0 & 0 & 1 & 0 \\ 0 & 0 & 0 & 0 & 0 & 0 & 0 & 1 \end{bmatrix} \\ H(L,0) & \begin{bmatrix} L & 0 & -\nu L & \frac{-\nu L^2}{2} & 0 & 0 & 1 & 0 \\ C & \frac{-L^2}{2} & 0 & 0 & (1+\nu)L & -L & 0 & 1 \end{bmatrix} \end{bmatrix}$$

با معکوس کردن ماتریس  $A$  ماتریس ضرایب  $C$  از رابطه  $\delta = A^{-1} C$  بدست می‌آید. چنانچه تابع کرنش را بخواهیم توسط تغییر مکانهای گره‌ای بیان کنیم خواهیم داشت:

$$\varepsilon(x,y) = 1/E [1 \ y \ -v \ -vx \ 0 \ 0 \ 0].C = G.C = B.\delta$$

که در رابطه فوق از ماتریس ضرایب کرنش  $G.A^{-1} = B$  استفاده شده است. چون در این حالت در سخت‌کننده‌ها فقط کرنش تک محوری ایجاد می‌شود بنابراین رابطه تنش کرنش به صورت  $\sigma = E.\varepsilon$  می‌باشد. از طرفی کرنش در جهت  $\theta$  طبق تئوری تغییر شکلهای کوچک به صورت زیر می‌باشد:

$$T = [\cos^2 \theta \ \sin^2 \theta \ \sin \theta \cdot \cos \theta] \cdot T.\varepsilon = T.\varepsilon$$

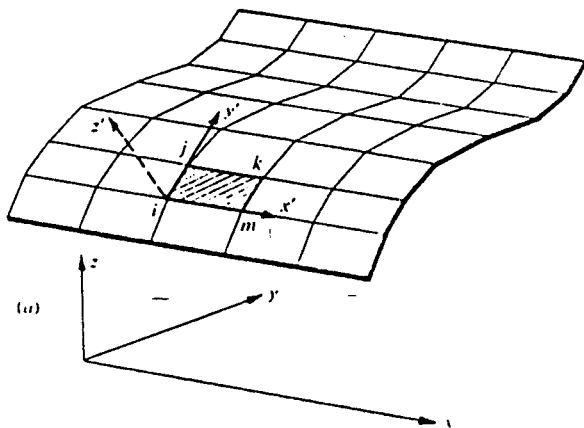
از این مرحله به بعد برای دست آوردن ماتریس سختی جزء غشایی همراه با سخت‌کننده از اصل کار مجازی استفاده می‌نماییم. به این ترتیب که تغییر مکان گره‌یی مجازی  $\delta$  را در نظر گرفته و کار مجازی داخلی و خارجی را دست می‌آوریم.

کار مجازی خارجی برابر است با:  $W_{ext} = \delta^{\text{OT}} F(s) + \delta^{\text{OT}} F(p)$  که در آن  $(s)_F$  و  $(p)_F$  نیروهای گره‌یی سخت‌کننده و ورق می‌باشند.

مسطحی تقسیم‌بندی نمود که با افزایش تعداد اجزا اختلاف هندسی بین پوسته واقعی و پوسته تقریبی کاهش می‌یابد. چون شکل واقعی پوسته سازه کشته را براحتی می‌توان با اجزای مستطیلی مدل کرد لذا خطای حاصل از تقریبی بودن مدل محاسباتی بسیار ناچیز بوده و بکارگیری این روش را منطقی می‌سازد.

تحلیل بهینه طولی سازه کشته باید روشی را به کار بست که بین سخت‌کننده‌ها نیز به حساب آورده شوند. روشی که بدین منظور در این مقاله به معرفی آن خواهیم پرداخت روش تحلیل پوسته کشته با استفاده از اجزای مستطح ساخته شده می‌باشد.

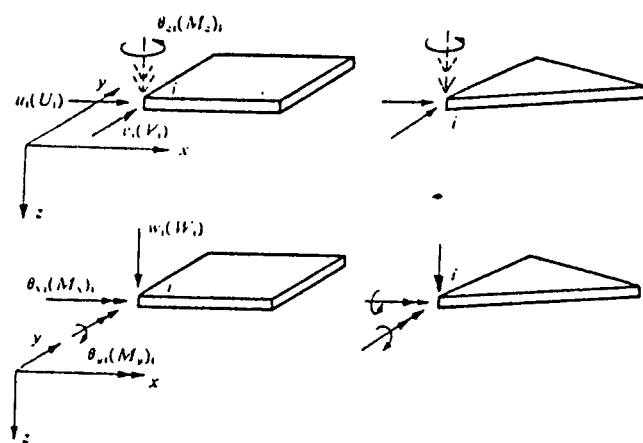
هر پوسته تک اتحنا را می‌توان مطابق شکل (۱-۵) به اجزای



شکل ۱-۵- پوسته تک اتحنا با جزء‌های مستطیلی

جهت  $X$  و  $Y$  بوده و سه درجه آزادی آن یعنی  $W$ ,  $(x)\theta$  و  $(y)\theta$  مربوط به تغییر مکان گره در جهت  $Z$  و دوران حول محورهای  $X$  و  $Y$  می‌باشد (شکل (۲-۵)).

در این روش برای هر گره از جزء مسطح در سیستم مختصات محلی پنج درجه آزادی در نظر گرفته می‌شود که دو درجه آزادی آن یعنی  $v_i$  و  $w_i$  مربوط به تغییر مکانهای گره در



شکل ۲-۵- درجات آزادی گره‌ای

$X$  و  $Y$  المان هیچگونه تأثیری بر تغییر شکلهای خمی صفحه نخواهند داشت. برای کامل شدن تعداد درجات آزادی جزء فوق در سیستم مختصات کلی لازم است تا یک درجه

از کمینه ساختن انرژی پتانسیل محوری و خمی المان، ماتریس‌های سختی  $[k_m]$  و  $[k_b]$  را خواهیم داشت که هر یک مستقل از دیگری می‌باشد زیرا تغییر مکانهای در جهت

**۵-۲- جزء مستطیلی ارتوتروپیک:**

برای اینکه در بخش خمشی ماتریس سختی جزء پوسته، اثر سخت کننده های زیر در نظر گرفته شود، بدین منظور از مولفه های ماتریس سختی جزء مستطیلی ارتوتروپیک استفاده می نماییم. چنانچه  $a$  و  $b$  نصف طول و عرض جزء مستطیلی مطابق شکل (۳-۵) باشد و  $D_1$ ,  $D_{xy}$ ,  $D_y$ ,  $D_x$  ضرایب ارتوتروپی جزء به صورت زیر باشند:

$$D_y = (E_y \cdot I_y) / (1 - v_y \cdot v_x), \quad D_x = (E_x \cdot I_x) / (1 - v_x \cdot v_y)$$

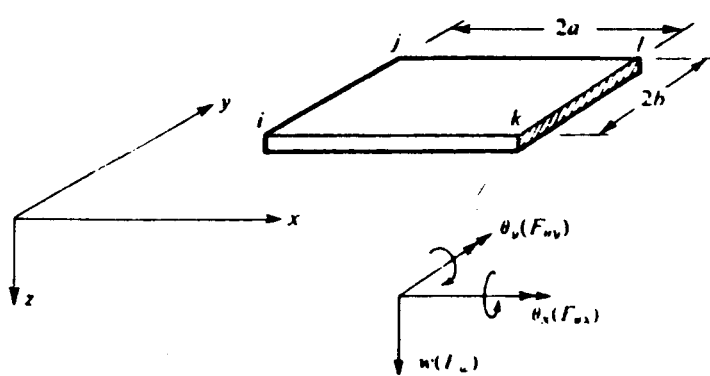
$$D_{xy} = 1/2 \cdot 1 - \sqrt{(v_x \cdot v_y)} \sqrt{(D_x \cdot D_y)}, \quad D_1 = \sqrt{(v_x \cdot v_y \cdot E_x \cdot E_y)}$$

مولفه های ماتریس سختی جزء مستطیلی ارتوتروپ در سیستم مختصات موضعی از رابطه زیر بدست می آید: (که در آن ماتریسها در مرجع ۱ توضیح داده شده اند) [مرجع ۱]

$$[K] = (1/60 \cdot a \cdot b) \cdot [L] \cdot \{D_x \cdot [K_1] + D_y \cdot [K_2]$$

$$+ D_1 \cdot [K_3] + D_{xy} \cdot [K_4]\} \cdot [L]$$

با تلفیق عناصر ماتریسها سختی بخش غشایی و خمشی جزء، به یک ماتریس سختی  $24 \times 24$  خواهیم رسید که از آن می توان در تهیه برنامه کامپیوتری استفاده نمود. در برنامه ای که بدین منظور تدوین گردیده، مبنای کار روش سختی بوده و حل دستگاه معادلات با استفاده از روش حذفی گوس انجام گرفته است.



شکل (۳-۵) جزء مستطیلی ارتوتروپیک

آزادی دوران حول محور  $Z$  ها یعنی  $(z)\theta$  و لنگر ناشی از آن یعنی  $M_z$  را به صورت مجازی فرض نماییم در این صورت تعداد درجات آزادی، نیروها و لنگرهای معادل گرهای که برای جزء می توان در نظر گرفت به صورت زیر خواهد بود:

$$[U] = \begin{bmatrix} u_{(i)} \\ v_{(i)} \\ w_{(i)} \\ \theta_{x(i)} \\ \theta_{y(i)} \\ \theta_{z(i)} \end{bmatrix} ; [F] = \begin{bmatrix} U_{(i)} \\ V_{(i)} \\ W_{(i)} \\ M_{x(i)} \\ M_{y(i)} \\ M_{z(i)} \end{bmatrix}$$

با این فرض تعداد درجات آزادی هر جزء از  $24$  به  $20$  به افزایش می یابد.

در پوسته کشتی همانگونه که قبلاً نیز ذکر شد، جداره خارجی را ورقهای سخت شده ای تشکیل می دهند که بسته به نوع سیستم باربر، تعداد و نحوه توزیع سخت کننده ها متفاوت می باشند لذا در تحلیل پوسته کشتی انتخاب اجزای غشایی و خمشی که از ورقهای ساده بدون سخت کننده ساخته شده باشند انتخابی غیر مناسب می باشد. روشهای را که در اینجا برای حل این مشکل به کار می بریم استفاده از مولفه های جزء مستطیلی با تنش برشی ثابت ساخته شده برای بخش غشایی ماتریس سختی و جزء مستطیلی ارتوتروپیک برای بخش خمشی ماتریس سختی خواهد بود که در ذیل به ذکر جزئیات بیشتر در مورد این مولفه ها خواهیم پرداخت.

**۵-۱- جزء سخت شده مستطیلی با تنش برشی ثابت:**

مولفه هایی که برای ماتریس سختی این جزء فرض می شوند شامل دو بخش  $K$  و  $K'$  خواهد بود که مولفه های  $K$  مربوط به جزء مستطیلی با تنش برشی ثابت بوده و مولفه های  $K'$  مربوط به اثرات سخت کننده می باشد [مرجع ۱].

### ۶- مثال کاربردی:

معمولًا هر یک از این مدولها جهت عملکرد خاصی انتخاب می‌شوند. در مورد این شناور، تعداد مدولهای انتخابی که با توجه به نیازهای آرشیتکتی انتخاب گردیده است پنج عدد بوده که از سمت پاشنه به سمت سینه شناور دارای کاربری زیر می‌باشند:

۱- مدول سکان ۲- مدول ژنراتور

۳- مدول موتورخانه ۴- مدول آسایشگاه

۵- مدول چاه زنجیر و مخازن

سپس باید به محاسبه بار خالص طولی که بر مدل تیر جعبه‌ای وارد می‌گردد، مبادرت نمود. بدین منظور لازم است که توزیع نیروی شناوری و نیروی وزن را با توجه به شکل بدن، سیستم انتخابی سازه و وزن تجهیزات در طول سازه بدست آورد.

مثالی را که ذیلاً به بررسی آن خواهیم پرداخت، مربوط به یک شناور گشتی بوده که جزء نخستین کارهای فولادی صنایع دریائی محسوب می‌گردد.

### ۶-۱- مشخصات شناور:

طول کلی: 18.7 متر سیستم باربر: قابهای عرضی

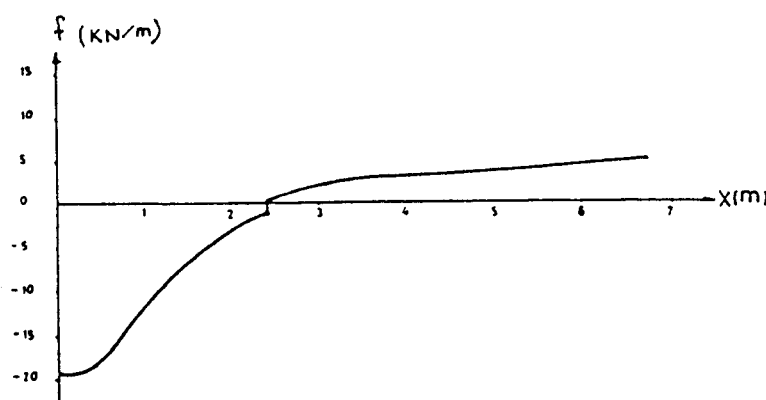
عرض: 5.8 متر تعداد قابهای 44 عدد

ارتفاع: 2.8 متر تعداد مدول: 5 عدد

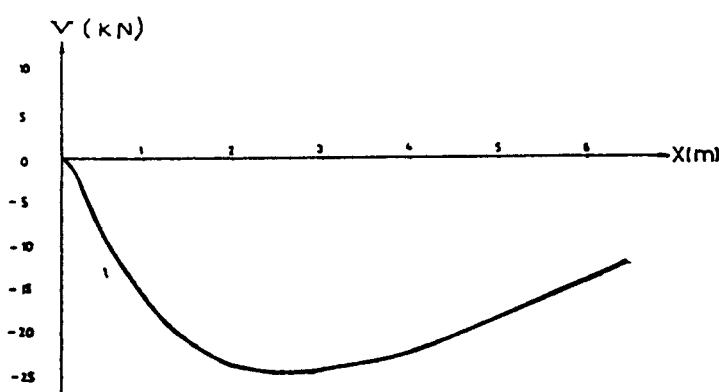
آبخور: 1.3 متر

### ۶-۲- تحلیل شناور به صورت یک تیر جعبه‌ای:

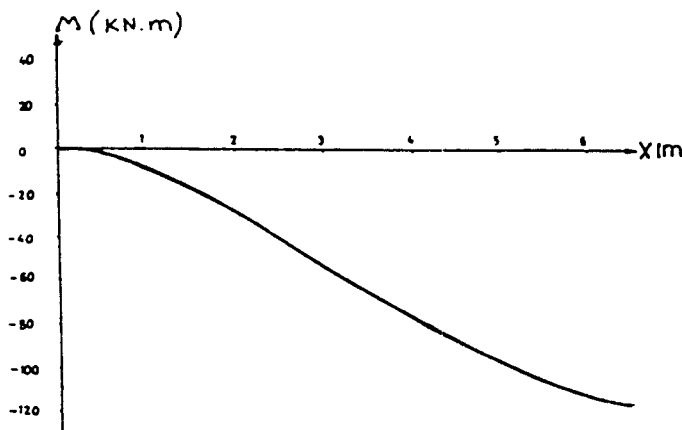
پس از مشخص شدن شکل بدن و تقسیم‌بندی فضای داخلی می‌توان تعداد مدولهای بدن را که توسط دیوارهای آب‌بندی عرضی از یکدیگر جدا می‌شوند، مشخص نمود.



شکل (۶.۱): توزیع نیروی خالص (f) وارد بر شناور



شکل (۶.۲): توزیع نیروی برشی در طول دو مدول اول



شکل (۶-۳): توزیع لنگر خمی در طول دو مدول اول

افزایش صلیبیت عرضی دخالت دارند. در مدول شماره ۲ که جزء بحرانی ترین مدولها می‌باشد دو تیپ قاب عرضی وجود دارد. قاب شماره ۸ که علاوه بر بارهای جانبی، بار متتمرکز ژنراتور را تحمل می‌کند و قاب شماره ۱۳ که شامل دیوارهای مخزن سوخت ژنراتور بوده و لذا علاوه بر بارهای جانبی بار ناشی از مخزن سوخت را نیز تحمل می‌کند. برای تحلیل این دو تیپ قاب و دیوارهای آب‌بندی انتهایی از برنامه FRAME که بدین منظور تدوین گردیده است استفاده می‌نماییم. شکل (۶-۴) قاب شماره ۸ و بارگذاری آن را نشان می‌دهد. مدل تحلیلی و نحوه جزء‌بندی این قاب در شکل (۶-۵) به نمایش گذارده شده است. همانگونه که در این شکل ملاحظه می‌شود در محل اتصال اجزای تیر بالاجزای مثلثی یا مستطیلی از جزء تیر خیلی سخت استفاده گردیده است.

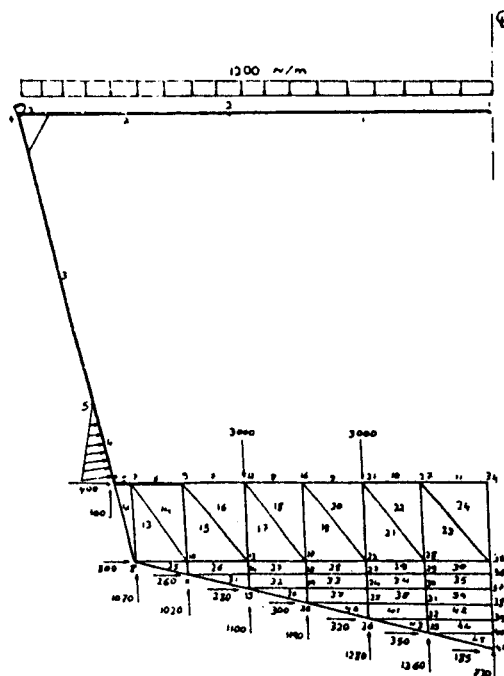
در این مثال منحنی توزیع بار ( $f(x)$ ) در طول دو مدول اول مطابق با شکل (۶-۱) بdst می‌آید. با انتگرال‌گیری از منحنی توزیع بار، نیروی برشی، ( $Q(x)$ ) و با انتگرال‌گیری از منحنی توزیع نیروی برشی، لنگر خمی ( $M(x)$ ) در هر نقطه از شناور را مطابق با شکل‌های (۶-۲) و (۶-۳) خواهیم داشت.

#### ۶-۳- تحلیل مدولهای بدن شناور:

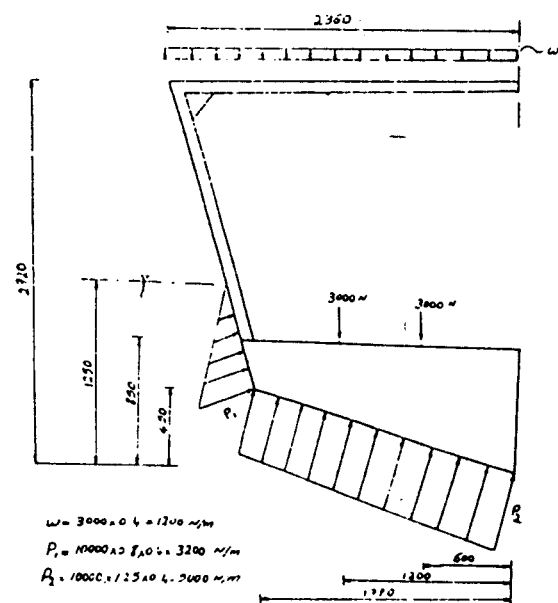
برای این شناور نیز تحلیل مدولهای بدن، به دو بخش تحلیل سیستم برابر عرضی و تحلیل سیستم برابر طولی تفکیک می‌گردد که در ذیل به بررسی هر یک از آنها خواهیم پرداخت:

#### ۶-۳-۱- تحلیل سیستم برابر عرضی شناور:

سیستم برابر عرضی این شناور را که در واقع سیستم اصلی باربر نیز می‌باشد قابهای عرضی تشکیل داده است که به فاصله ۴۰ سانتیمتر از یکدیگر واقع شده‌اند. در ابتدا و انتهای هر مدول دیوارهای آب‌بندی قرار دارند که به نوعی در



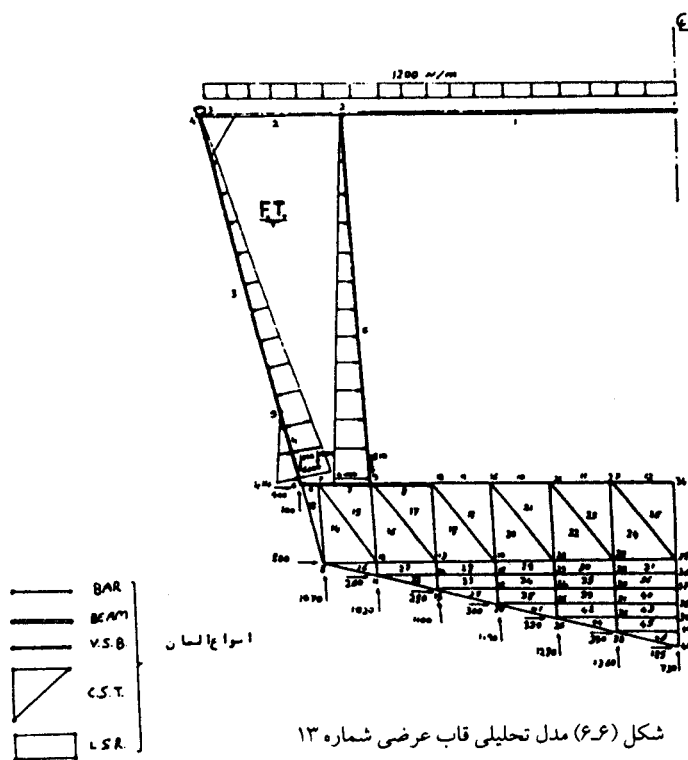
شکل (۵۶) المان بندی قالب عرضی شماره ۸



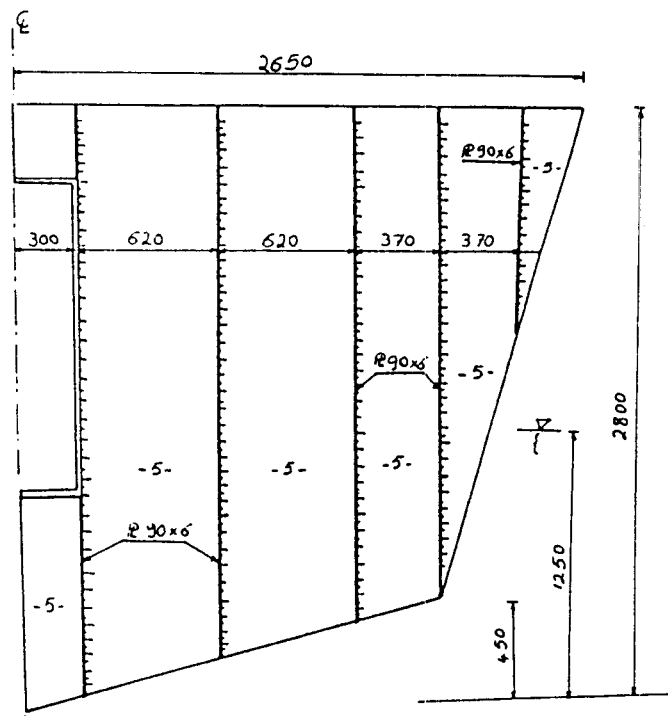
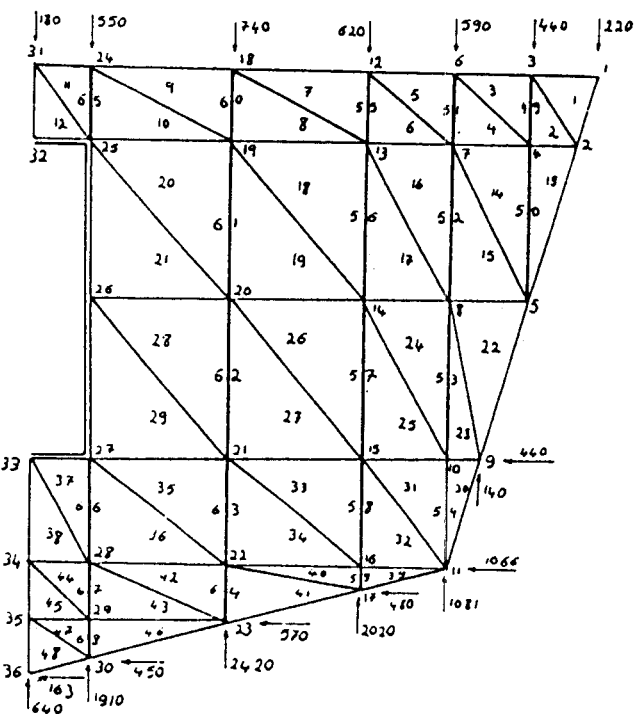
شکل (۵۷) قالب عرضی شماره ۸ و بارگذاری آن

انتهائی در مدل شماره ۲ (قاب شماره ۱۵) و مدل تحلیلی آن را نشان می‌دهد.

شکل (۶۶) مدل تحلیلی قاب شماره ۱۳ را نشان می‌دهد که علاوه بر شرایط حاکم بر قاب شماره ۸ دارای دیواره مخزن سوخت نیز می‌باشد و بالاخره شکل (۶۷) دیواره آب‌بندی



شکل (۶۶) مدل تحلیلی قاب عرضی شماره ۱۳

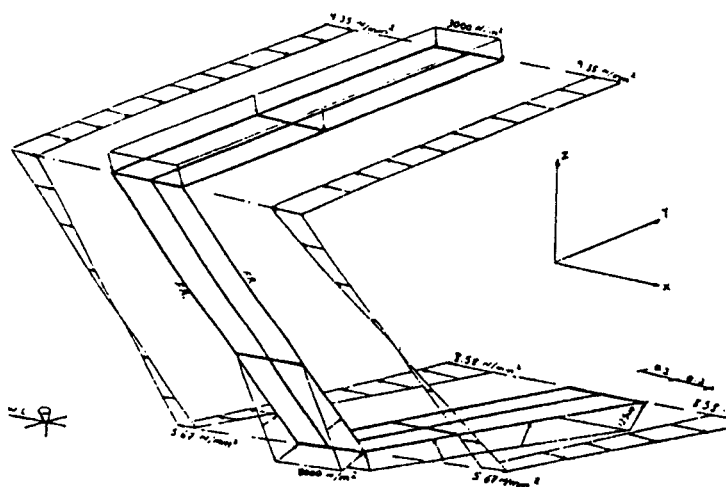
Bulkhead : FR-15

شکل (۶-۷) دیواره آب بندی انتهائی و مدل تحلیلی آن

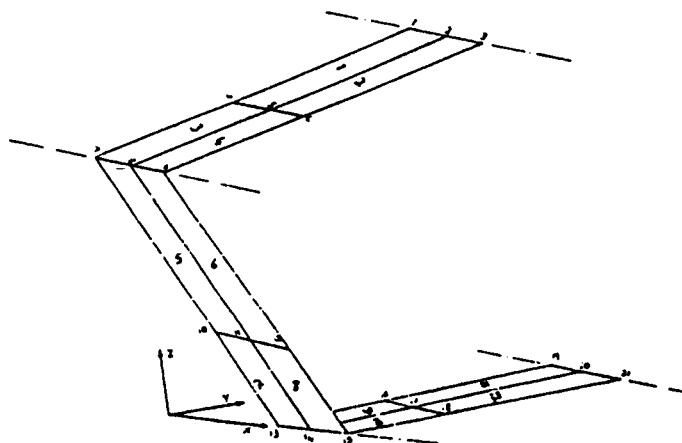
### ۶-۲-۳- تحلیل سیستم باربر طولی شناور:

نیروهای وارد بر این جداره همانگونه که در شکل (۶) نشان داده شده است. عبارت است از نیروی وزن خدمه، فشار هیدرولاستاتیک و تنشهای حاصله از تحلیل "تیرجعبه ای جدارنازک"<sup>۱</sup>. جزء بندی مدل تحلیلی مطابق شکل (۹) در فاصله ۲۰ سانتیمتری طولی صورت گرفته است. با محاسبه اطلاعات ورودی برنامه، انتخاب یک دستگاه مختصات و بارهای گرهای معادل می توان از این برنامه استفاده نمود.

معمولآً جداره خارجی سازه کشتی را ورقهای نازک به همراه سختکننده‌های طولی تشکیل می‌دهند، اما در این شناور فاصله بسیار کم بین قابهای عرضی سبب گردیده است تا در طراحی جداره خارجی آن از هیچ نوع سختکننده‌های طولی استفاده نگردد.  
تحلیل جداره خارجی شناور را بین قاب شماره ۸ و شماره ۹ با استفاده از برنامه SHELL انجام می‌دهیم.



شکل (۶) نیروهای وارد بر جدار خارجی



شکل (۹) المان‌بندی مدل تحلیلی

**۷-کترل و نتیجه گیری:**

با مقایسه نتایج بدست آمده از محاسبات مستقیم و نتایج برنامه های کامپیوتری با مقادیر مجاز آئین نامه ABS<sup>۱</sup> به کترل و نتیجه گیری در مورد طراحی سازه مورد مثال می پردازیم.

**۱-کترل تنش:**

تشنهای بدست آمده از محاسبات مستقیم در بخش تحلیل "تیر جعبه ای جدار نازک"<sup>۲</sup> و نتایج برنامه های کامپیوتری در بحرانی ترین حالت دارای مقادیر ماکریم زیر می باشند:

نش مجاز  $N/mm^2 < 150$   $N/mm^2 =$  ماکریم تنش خشن مقایسه ای تیر جعبه ای

نش مجاز  $N/mm^2 < 104$   $N/mm^2 =$  ماکریم تنش برشی فائتم تیر جعبه ای

نش مجاز  $N/mm^2 < 13.12$   $N/mm^2 =$  ماکریم تنش نرمال ورقها در جهت محور  $\times$  ما

نش مجاز  $N/mm^2 < 11.70$   $N/mm^2 =$  ماکریم تنش نرمال ورقها در جهت محور  $\perp$  ما

نش مجاز  $N/mm^2 < 1.70$   $N/mm^2 =$  ماکریم تنش برشی ورقها

**۲-کترل خیز:**

خیز مجاز  $L/D = 6.68 < 15$   $=$  ماکریم خیز طولی

خیز مجاز  $h/l = .108 < .128$   $=$  ماکریم خیز موضعی

**۳-کترل ضخامت:**

مدول مقطع مجاز  $cm^3 > 20760$   $cm^3 =$  مدل مقطع موجود در سازه شناور

**۴-کترل ضخامت:**

ضخامت مجاز  $mm > 4.85$   $mm =$  ضخامت موجود در پوسته جانبی

ضخامت مجاز  $mm > 2.50$   $mm =$  ضخامت موجود در پوسته کف

ضخامت مجاز  $mm > 3.40$   $mm =$  ضخامت موجود در عرضه اصلی

ضخامت مجاز  $mm < 5.36$   $mm =$  ضخامت موجود در دیواره های آب بندی

**۵-نتجه:**

با توجه به مقایسه فوق ملاحظه می گردد که شناور مزبور به لحاظ پاسخگوئی به تنشهای واردہ دارای طرحی محافظه کارانه می باشد. به لحاظ خیز طولی و موضعی و همچنین مدول مقطع لازم کاملاً رضایت بخش بوده و به لحاظ ضخامتهای انتخابی به جز در مورد دیواره آب بندی دارای طرح مناسبی می باشد. در مجموع چنین به نظر می رسد که برای شناور فوق می توان با حفظ ضخامتهای انتخابی مبادرت به افزایش فاصله قابهای عرضی نموده و از وزن سازه شناور به مقدار زیادی کاست بدون اینکه تأثیر سوئی در کارائی و سرویس دهی آن ایجاد گردد. این پژوهش با استفاده از اعتبارات شورای پژوهشی دانشگاه تهران انجام گردیده است، که بدینوسیله از ایشان تشکر می گردد.

- 1- Hughes Owen F., "Ship Structural Design", N.Y. John Wiley [1983].
- 2- Rawson K.J. and Tupper E.C., "Basic Ship Theory" Vol. 1 and 2 Longman Scientific and Technical [1984].
- 3- Clayton B.R. and Bishop R.E.D., "Mechanics of Marine Vehicles", Arrowsmith Ltd., Bristol [1982] (p.p. 440-494)
- 4- Muckle W., "Strength of Ships' Structures", Edward Arnold Ltd., London [1967](p.p. 168-365)
- 5- Comstock J.P., "Principles of Naval Architecture", The Society of Naval Architects and Marine Engineers, N.Y. [1967]
- 6- A B S, "American Bureau of Shipping", Rules for Building and Classing; Steel Vessels, N.Y. [1974]
- 7- "Ship Design and Constructions", The Society of Naval Architects and Marine Engineers ,N.Y. [1967]
- 8- Zienkiewicz O.C. and Taylor R.L., "The Finite Element Method", 4th ed. U.K. Mc Graw-Hill [1989]
- 9- Zienkiewicz O.C., "The Finite Element Method in Engineering Sience", N.Y. Mc Graw-Hill [1977]
- 10- Timoshenko S. and Woinowsky - Krieger, "Theory of plates and Shells", N.Y. Mc Graw -Hill [1959]
- 11- Clough R. and Tocher, "Finite Element Matrices for Analysis of Plates In Bending" N.Y. Mc Graw-Hill [1975]

۱۲- جزوه درسی "روش اجزاء محدود" دکتر ایرج محمودزاده کنی، دانشکده فنی - دانشگاه تهران

۱۳- طرح پژوهشی ۹۵۵، "کاربرد روشن اجزاء محدود در تحلیل سازه کشتی" ، دکتر ایرج محمودزاده کنی، مهندس الـــهیاری،

[۱۳۷۱] مهرداد، دانشکده فنی دانشگاه تهران